



بررسی عوامل کنترل کننده‌ی ریخت‌شناصی بلورهای گارنت در سنگ‌های دگرگون و آذرین منطقه‌ی همدان

زهرا حسین میرزایی^{۱*}، علی اصغر سپاهی^۲، محسن مؤذن^۳، زهره حسین میرزایی^۱، رسول دادخواه^۴

۱- عضو باشگاه پژوهشگران جوان دانشگاه آزاد اسلامی واحد خواراسکان، اصفهان

۲- گروه زمین شناسی دانشگاه بوعالی سینا، همدان

۳- گروه زمین شناسی دانشگاه تبریز، تبریز

۴- دانشگاه فردوسی مشهد، دانشکده علوم پایه، گروه زمین شناسی، مشهد

(دریافت مقاله: ۱۱/۱۱/۸۸، نسخه نهایی: ۵/۳/۸۹)

چکیده: منطقه‌ی مورد بررسی، بخشی از استان همدان است که در زون دگرگونی سنندج- سیرجان قرار گرفته است. سنگ‌های دگرگون منطقه را می‌توان به سه گروه سنگ‌های دگرگون مجاورتی، دگرگون ناحیه‌ای و میگماتیت‌ها رده‌بندی کرد. بلورهای گارنت تقریباً در تمامی سنگ‌های دگرگون منطقه (جز اسلیت‌ها و فیلیت‌ها) و در سنگ‌های آذرین (آپلیت‌ها، پگماتیت‌ها و مونزوگرانیت‌ها) حضور دارند. این گارنت‌ها از نظر ریخت‌شناصی به سه پیکربندی تقسیم می‌شوند، دوازده وجهی خاص {۱۱۰}، ذوزنقه وجهی خاص {۲۱۱} و پیکربندی‌های ترکیبی که خود شامل دوازده وجهی ویژه، ترکیبی کامل و ذوزنقه وجهی ویژه. پیکربندی بلوری دوازده وجهی خاص در گارنت آمفیبول شیسته‌ها، گاهی در گارنت میکا شیسته‌ها، به ندرت در مزوسموم میگماتیت‌ها و گاهی در گارنت میکا هورنفلس‌ها دیده می‌شوند. در آپلیت‌های گارنت‌دار و پگماتیت‌های گارنت‌دار نیز گارنت‌ها دارای پیکربندی بلوری ذوزنقه وجهی خاص هستند. بلورهای گارنت در سنگ‌های گارنت‌دار دیگر منطقه، پیکربندی بلوری ترکیبی را به وجود می‌آورند. مهم‌ترین عامل تأثیرگذار بر ریخت‌شناصی این بلورها ترکیب شیمیایی است. به این صورت که با افزایش نسبت Mn/Ca و $Mn/(Mg+Ca)$ پیکربندی بلوری گارنت‌ها از دوازده وجهی به ذوزنقه وجهی تغییر می‌کند.

واژه‌های کلیدی: گارنت، پیکربندی دوازده وجهی خاص، پیکربندی ذوزنقه وجهی خاص، پیکربندی‌های ترکیبی.

بدون آب به صورت $R_3R'_2(SiO_4)_3$ است. که در جایگاه R کاتیون‌های دو ظرفیتی Mg^{2+} , Fe^{2+} , Ca^{2+} , Mn^{2+} و در جایگاه R' کاتیون‌های سه ظرفیتی Al^{3+} , Cr^{3+} , Fe^{3+} قرار می‌گیرند [۲,۳]. معمولاً در جایگاه R' بیشتر از یک کاتیون جانشین می‌شوند و در نتیجه بلورهای گارنت به صورت

مقدمه

ریخت‌شناصی بلورها، شامل شکل و ظاهر سطوح و نسبت زاویه‌ی بین آن‌هاست که به وسیله‌ی عوامل درونی مانند ساختار بلوری و عوامل خارجی که کنترل کننده‌ی رشد بلورها هستند، تعیین می‌شود [۱]. فرمول عمومی بلورهای گارنت

کردیریت (\pm آندالوزیت) هورنفلس، کردیریت پتاسیم فلدوپار-هورنفلس و سیلیمانیت پتاسیم فلدوپار هورنفلس تشکیل می-دهند. میگماتیت‌های منطقه را نیز می‌توان به دو دسته سیلیمانیت میگماتیت و کردیریت میگماتیت ردیف بندی کرد. بلورهای گارنت تقریباً در تمامی سنگ‌های دگرگون منطقه، به جز اسلیت‌ها و فیلیت‌ها حضور دارند. سنگ‌های پلوتونیک اصلی منطقه نیز شامل گرانیت‌های، دیوریت و گابروئیدها هستند که به وسیله رگه‌های آپلیتی-پگماتیتی و رگه‌های سیلیسی قطع شده‌اند و این بلورها در آپلیت‌ها، پگماتیت‌ها و مونزوگرانیت‌ها مشاهده می‌شوند.

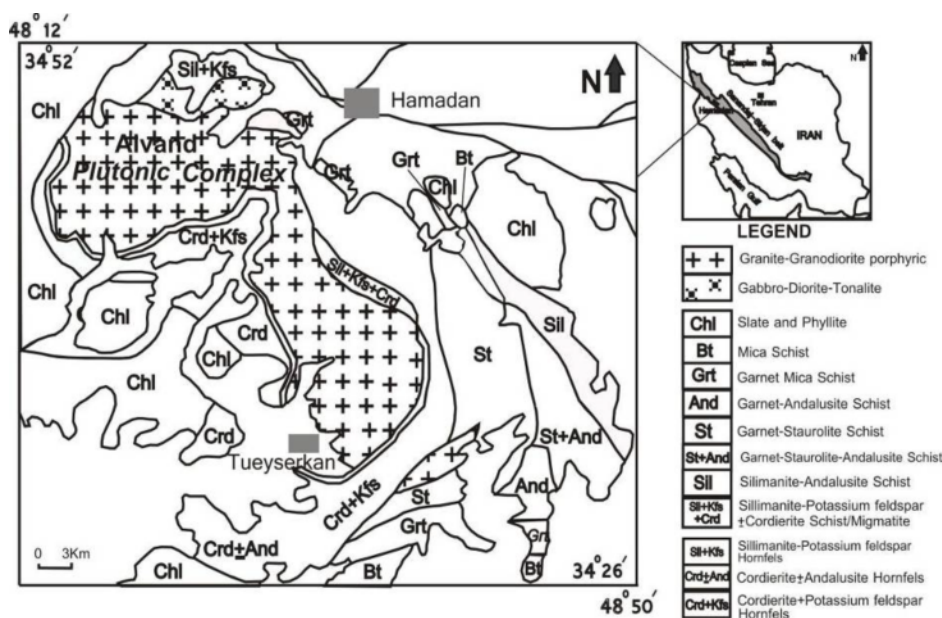
روش بررسی

به منظور بررسی سنگ‌شناسی و ریخت‌شناسی بلورهای گارنت موجود در سنگ‌های دگرگون و آذرین منطقه، پس از بررسی-های صحرایی و نمونه‌برداری سیستماتیک، از نمونه‌های مورد بررسی مقطع نازک تهیه شد. پس از بررسی‌های سنگ‌شناسی، نمونه‌های سنگ کل و بلورهای گارنت در آزمایشگاه‌های کانپروه تهران و طیف کانسaran بینالود مشهد، به روش XRF تجزیه شیمیایی شدند. همچنین بلورهای گارنت موجود در نمونه‌های مناسب با استفاده از ریز پردازنده الکترونی JEOL 8900 در گروه زمین‌شناسی و ژئوفیزیک دانشگاه مینسوتا آمریکا، با ولتاژ شتاب دهنده‌ی ۱۵ kV و جریان ۲۵ nA بررسی شدند.

سری‌های یکریخت (محلول جامد) رشد می‌کنند. در این پژوهش سعی بر این بوده است که با استفاده از بررسی‌های صحرایی و آزمایشگاهی متعدد عوامل مؤثر بر ریخت‌شناسی بلورهای گارنت در سنگ‌های دگرگون و آذرین منطقه به دقت بررسی شوند.

زمین‌شناسی منطقه

منطقه‌ی مورد بررسی بخشی از استان همدان است که بین طول‌های جغرافیایی $51^{\circ} ۰۵' - ۴۸^{\circ} ۲۴'$ تا $۴۸^{\circ} ۴۵'$ شمالی و عرض‌های جغرافیایی $۳۵^{\circ} ۵۱' - ۳۴^{\circ} ۳۲'$ تا $۹^{\circ} ۳۰'$ شرقی قرار گرفته است و از نظر زمین‌شناسی، در زون سندج-سیرجان قرار می‌گیرد (شکل ۱) توده‌ی پلوتونیک الوند مهم-ترین پدیده‌ی آذرین منطقه است که پیرامون آن را سنگ‌های دگرگون مجاورتی و ناحیه‌ای با درجه‌ی دگرگونی پایین تا بالا فرا گرفته است. سنگ‌های دگرگون همدان را می‌توان به سه گروه سنگ‌های دگرگون ناحیه‌ای، دگرگون مجاورتی و میگماتیت‌ها ردیف بندی کرد. سنگ‌های دگرگون ناحیه‌ای منطقه از اسلیت، فیلیت، میکاشیست، گارنت میکاشیست، گارنت آندالوزیت (\pm سیلیمانیت، \pm کیانیت) شیست، گارنت استارولیت شیست، آمفیبول شیست و آمفیبولیت تشکیل شده‌اند. سنگ‌های دگرگون مجاورتی منطقه را نیز میکا هورنفلس، گارنت هورنفلس، گارنت-آندالوزیت (\pm فیبرولیت) هورنفلس،



شکل ۱ موقعیت زون سندج-سیرجان، همراه با نقشه‌ی سنگ‌شناسی منطقه‌ی همدان [۱۱].

و ذوزنقه وجهی‌ای، با ۱۲ سطح لوزی شکل (با دوازده وجه) و ۲۴ سطح شبه ذوزنقه‌ای شکل (با رخ‌های ذوزنقه‌ای) و مجموعاً دارای ۳۶ سطح است.

۳-۲-پیکربندی دوازده وجهی ویژه: ترکیبی است از پیکربندی دوازده وجهی و ذوزنقه وجهی، با ۱۲ سطح لوزی شکل (به صورت دوازده وجه) و ۱-۲۳ سطح شبه ذوزنقه‌ای (ذوزنقه وجهی)، که تعداد سطوح آن می‌تواند بین ۱۳ تا ۳۵ سطح تغییر کند.

۳-۳-پیکربندی ذوزنقه وجهی ویژه: ترکیبی است از دوازده وجهی‌ها و ذوزنقه وجهی‌ها، با ۲۴ سطح شبه ذوزنقه‌ای شکل (پیکربندی ذوزنقه وجهی) و ۱-۱۱ سطح لوزی شکل (دوازده وجهی)، تعداد سطوح این پیکربندی می‌تواند بین ۲۵ تا ۳۵ سطح تغییر کند.

پیکربندی بلوری دوازده وجهی خاص

در این پیکربندی بلورهای گارنت دارای ۱۲ سطح لوزی شکل بوده و به صورت شاخص {۱۱۰} نمایش داده می‌شوند (شکل ۲). گارنت‌هایی که به این شکل متبلور می‌شوند تمامی سطوحشان در حالت ایده‌آل خود بوده و هیچ‌گونه سطوح اضافی و جدید در نمونه‌ی دستی آن‌ها دیده نمی‌شود (شکل ۳).

برای آگاهی از ریخت بلورهای گارنت، پس از بررسی‌های صحرایی، این بلورها در آزمایشگاه با میکروسکوپ بینوکلار و روش تغییر متنابوب زاویه‌ی تابش نور به بلور مورد بررسی قرار گرفتند. لازم به یادآوری است که فرمول ساختاری گارنت‌ها با استفاده از روش رسول و همکاران [۴] با فرض ۸ کاتیون و ۱۲ اکسیژن محاسبه شد. در این مقاله عالیم اختصاری کانی‌ها بر مبنای کرتز [۵] بوده و نامگذاری سنگ‌ها نیز، بنا بر پیشنهاد اتحادیه‌ی بین‌المللی علوم زمین [۶] انجام گرفت.

بحث و بررسی

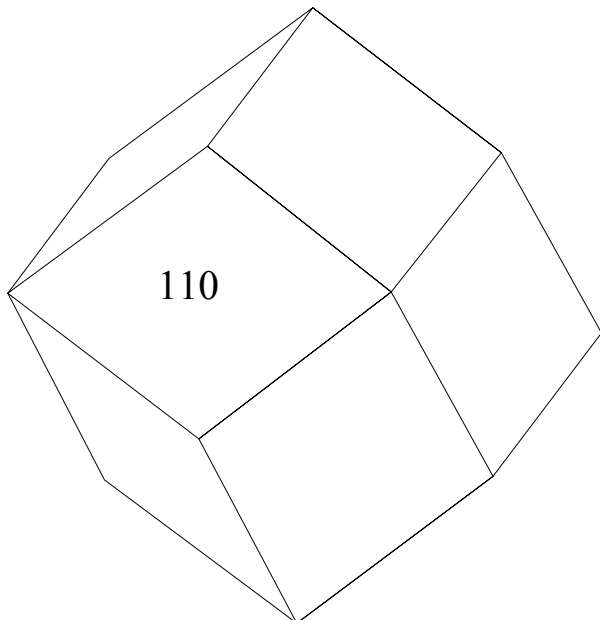
بلورهای گارنت منطقه‌ی در پیکربندی‌های دوازده وجهی، ذوزنقه وجهی و ویژه تشکیل می‌شوند. ولی در بعضی از بلورها سطوح لوزی شکل نسبت به سطوح شبه ذوزنقه‌ای رشد بیشتری داشته‌اند و یا سطوح شبه ذوزنقه‌ای شکل بهتر رشد کرده‌اند. تقسیم‌بندی زیر [۷] شامل سه گروه و سه زیر گروه است که، برای ریخت‌شناختی بلورهای منطقه‌ی پیشنهاد شده است.

۱. پیکربندی دوازده وجهی خاص با ۱۲ سطح لوزی شکل، با شاخص {۱۱۰}.

۲. پیکربندی ذوزنقه وجهی (ایکوزی تراهه‌رون) خاص با ۲۴ سطح شبه ذوزنقه‌ای شکل {۲۱۱}.

۳. پیکربندی‌های ترکیبی:

- ۳-۱-پیکربندی ترکیبی کامل: این پیکربندی از دوازده وجهی



شکل ۲ تصویر پیکربندی بلوری دوازده وجهی خاص {۱۱۰} [۱۲]



شکل ۳ بلور گارنت با پیکربندی دوازده وجهی خاص {۱۱۰}، اندازه بلور تقریباً ۱۰ میلی‌متر است.

ذوزنقه‌ای ویژه کمتر مشاهده می‌شوند.

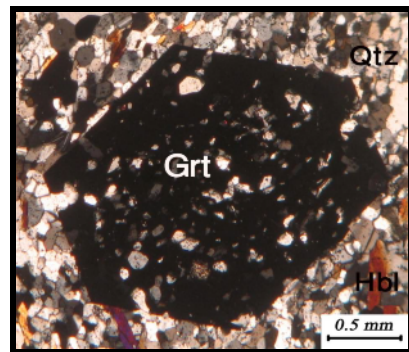
پیکربندی بلوری دوازده وجهی ویژه

این پیکربندی ترکیبی از دو پیکربندی بلوری دوازده وجهی {۱۱۰} و ذوزنقه وجهی {۲۱۱} است. بلورهای گارنت در این پیکربندی دارای ۱۲ سطح لوزی شکل (دوازده وجهی) بوده و تعداد سطوح شبه ذوزنقه‌ای (ذوزنقه وجهی) آن بین ۱ تا ۲۳ سطح متغیر است. لازم به يادآوری است که در این پیکربندی، تعداد سطوح بین ۱۳ تا ۳۵ سطح است (شکل ۵).

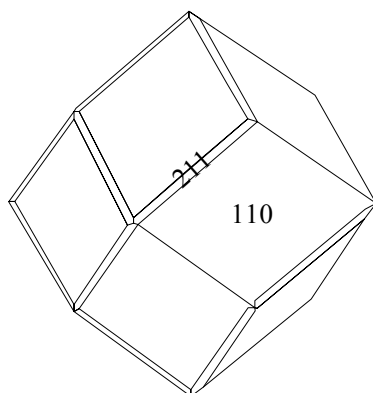
این پیکربندی بلور در گارنت آمفیبول شیسته‌ها، گاهی در گارنت-میکا شیسته‌ها، گارنت-میکا هورنفلس‌ها و گاهی در مزوسم میگماتیت‌ها دیده می‌شود. در مقاطع میکروسکوپی نیز این بلورها کاملاً ایدیوبلاستیک هستند (شکل ۴).

پیکربندی بلوری ترکیبی

این پیکربندی به سه زیر گروه دوازده وجهی ویژه، ترکیبی کامل و ذوزنقه وجهی ویژه تقسیم می‌شود. شکل دوازده وجهی ویژه نسبت به پیکربندی ترکیبی کامل و ذوزنقه وجهی ویژه گسترش بیشتری دارد و پیکربندی‌های ترکیبی کامل و



شکل ۴ تصویر میکروسکوپی گارنت با پیکربندی دوازده وجهی خاص {۱۱۰}، در گارنت آمفیبول شیست (تصویر در نور. X.P.L.).



شکل ۵ تصویر پیکربندی بلوری دوازده وجهی ویژه، تشکیل شده از دو پیکربندی دوازده وجهی {۱۱۰} و ذوزنقه وجهی {۲۱۱}.

وجهی) آن بین ۱ تا ۱۱ سطح متغیر است. تعداد سطوح در این پیکربندی بین ۲۵ تا ۳۵ سطح است (شکل ۷).

گارنت‌های با پیکربندی بلوری ترکیبی در سنگ‌های گارنت-میکا شیست، گارنت-گرافیت شیست، گارنت-آنداژیت شیست، گارنت-استارولیت شیست، گارنت-ملانوسوم، گارنت-میکا هورنفلس، گارنت-استارولیت هورنفلس، گارنت-کیانیت آنداژیت-استارولیت هورنفلس، استارولیت-گارنت-کردیریت هورنفلس، گارنت-سیلیمانیت-پتاسیم فلدرسپار هورنفلس، گارنت-کردیریت-پتاسیم فلدرسپار هورنفلس، گارنتیت و مونزوگرانیت دیده می‌شوند.

پیکربندی ذوزنقه وجهی (هشت وجهی چهارگوش) خاص بلورهای گارنت که در این پیکربندی متبلور می‌شوند دارای ۲۴ سطح شبه ذوزنقه‌ای است و با شاخص {۲۱۱} مشخص می‌شوند (شکل ۸). این بلورهای گارنت در نمونه‌ی دستی دارای سطوح و یال‌های کامل بوده و سطوح اضافی در آن‌ها دیده نمی‌شوند. در این پیکربندی، بلورهای گارنت معمولاً درشت‌تر از پیکربندی دوازده وجهی خاص هستند و در آپلیت‌ها و پگماتیت‌ها دیده می‌شوند (شکل ۹). در جدول ۱ پیکربندی بلوری گارنت در سنگ‌های منطقه آورده شده است.

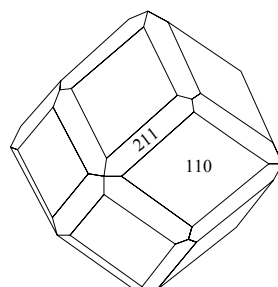
در این پیکربندی دوازده وجهی ویژه سطوح بلوری جدید (ذوزنقه وجهی) در پیوندگاه سطوح به صورت لوزی ظاهر می‌شوند. ممکن است سطوح جدید در تمام یال‌ها ظاهر نشده باشند و نسبت به پیکربندی ذوزنقه وجهی خاص چند سطح بیشتر داشته باشد. این سطوح گسترش چندانی نداشته و به سختی قابل رویت هستند.

پیکربندی بلوری ترکیبی کامل

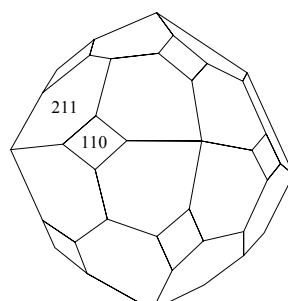
این پیکربندی ترکیبی از پیکربندی دوازده وجهی {۱۱۰} و ذوزنقه وجهی {۲۱۱} است. بلورهای گارنت در این پیکربندی، دارای ۱۲ سطح لوزی شکل (پیکربندی دوازده وجهی) و سطح شبه ذوزنقه‌ای شکل (ذوزنقه وجهی) هستند، و در مجموع این گارنت‌ها دارای ۳۶ سطح‌اند (شکل ۶). در این پیکربندی بلوری، سطوح جدید (ذوزنقه وجهی) در تمام یال‌ها ظاهر شده و گسترش یافته‌اند.

پیکربندی بلوری ذوزنقه وجهی ویژه

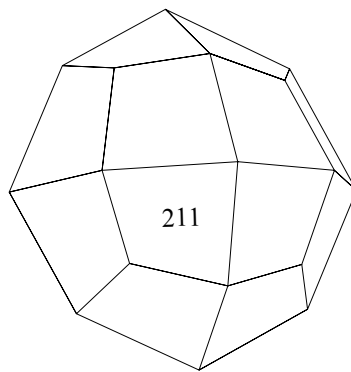
این پیکربندی بلوری نیز ترکیبی از پیکربندی دوازده وجهی {۱۱۰} و ذوزنقه وجهی {۲۱۱} است، با این تفاوت که بلورهای گارنت در این پیکربندی دارای ۲۴ سطح شبه ذوزنقه‌ای (ذوزنقه وجهی) بوده و تعداد سطوح لوزی شکل (دوازده



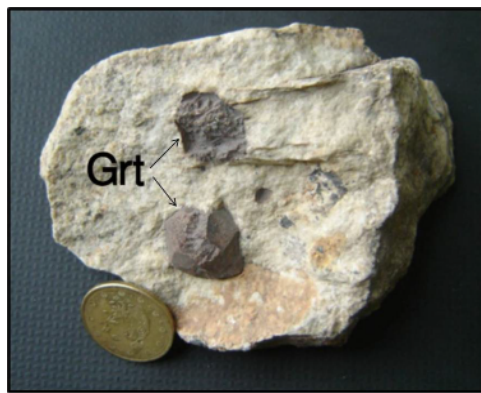
شکل ۶ تصویر پیکربندی بلوری ترکیبی کامل، تشکیل شده از دو پیکربندی دوازده وجهی {۱۱۰} و ذوزنقه وجهی {۲۱۱} [۱۲].



شکل ۷ تصویر پیکربندی بلور ذوزنقه وجهی ویژه، تشکیل شده از دو پیکربندی ذوزنقه وجهی {۲۱۱} و دوازده وجهی {۱۱۰} [۱۲].



شکل ۸ تصویر پیکربندی بلور ذوزنقه وجهی خاص، {۲۱۱} [۱۲].



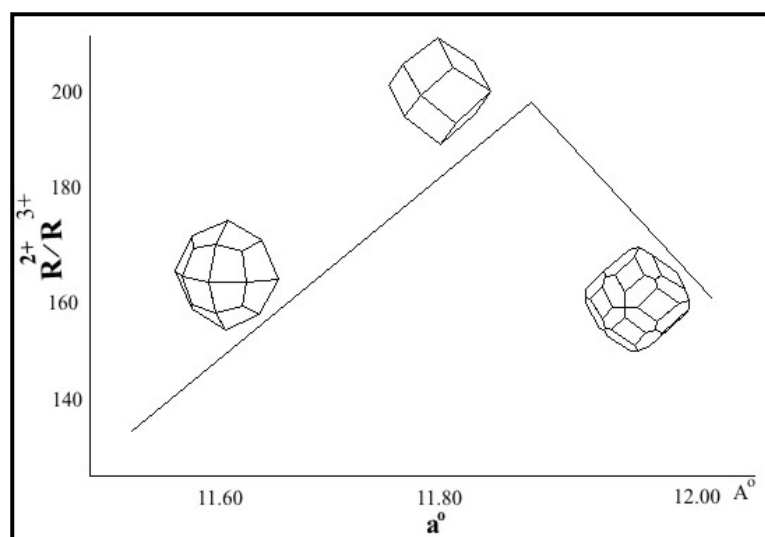
شکل ۹ تصویر ماکروسکوپی از بلور گارنت با پیکربندی ذوزنقه وجهی خاص {۲۱۱}.

جدول ۱ پیکربندی بلور گارنت در انواع سنگ‌های گارنت‌دار منطقه.

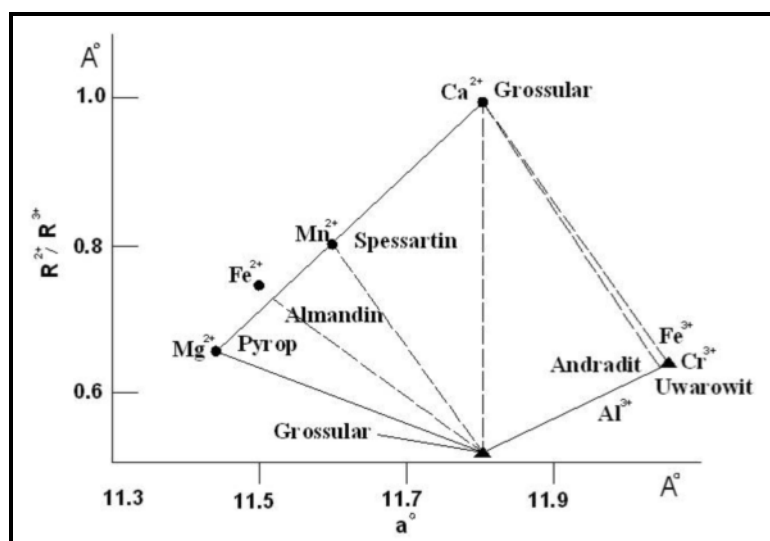
فرم بلوری گارنت در این سنگ‌ها	انواع سنگ‌های گارنت‌دار منطقه	سنگ‌های دگرگون ناجیهای و میگماهیات
پیکربندی ترکیبی، گاهی با پیکربندی دوازده وجهی خاص	گارنت میکا شیست	
پیکربندی ترکیبی	گارنت گرافیت شیست	
پیکربندی ترکیبی	گارنت آندالوزیت شیست	
پیکربندی ترکیبی	گارنت استارولیت شیست	
پیکربندی ترکیبی	گارنت آندالوزیت سیلیمانیت شیست	
پیکربندی دوازده وجهی خاص	گارنت آمفیبول شیست	
پیکربندی ترکیبی	گارنتیت	
پیکربندی ترکیبی، گاهی پیکربندی دوازده وجهی خاص (بیشتر در مزوسم)	میگماتیت (لوکوسوم، مزوسم، ملانوسوم)	
پیکربندی ترکیبی، گاهی پیکربندی دوازده وجهی خاص	گارنت میکا هورنفلس	سنگ‌های دگرگون معجاوری
پیکربندی ترکیبی	گارنت کیانیت آندالوزیت استارولیت هورنفلس	
پیکربندی ترکیبی	گارنت استارولیت هورنفلس	
پیکربندی ترکیبی	استارولیت گارنت کردیریت هورنفلس	
پیکربندی ترکیبی	گارنت سیلیمانیت پتاسیم فلدوپار هورنفلس	
پیکربندی ترکیبی	گارنت کردیریت پتاسیم فلدوپار هورنفلس	
ذوزنقه وجهی خاص	آپلیت	سنگ‌های آذرین
ذوزنقه وجهی خاص	پگماتیت	
پیکربندی ترکیبی	مونزوگرانیت	

پیکربندی بلوری گارنت‌ها از دوازده وجهی به ذوزنقه وجهی تغییر می‌کند. این تغییر پیکربندی را می‌توان را به این صورت بیان داشت که در گارنت‌های غنی از آلماندین با نسبت پایین XGrs/XSps و XGrs/(XSps+XPrp) پیکربندی بلوری ذوزنقه وجهی خاص تشکیل می‌شود و گارنت‌هایی با نسبت بالا XGrs/XSps و XGrs/(XSps+XPrp)، پیکربندی بلوری دوازده وجهی خاص ایجاد می‌شود. همچنین گارنت‌هایی با نسبت میانگین روابط بالا، دارای پیکربندی بلوری ترکیبی هستند (جدول ۲).

تأثیر ترکیب شیمیایی بر ریخت‌شناسی بلورهای گارنت ترکیب شیمیایی بلورهای گارنت، نسبت کاتیون‌های دو ظرفیتی به سه ظرفیتی و اندازه‌ی [یاخته‌ی یکه] از عوامل مؤثر بر پیکربندی بلوری گارنت‌ها هستند [۹.۸] (شکل ۹.۸) (شکل ۱۰ و ۱۱). با توجه به نمودارهای پیشنهادی کاستف، رسler و بررسی تغییر درصد کاتیون‌های عناصر در پیکربندی دوازده وجهی خاص و ذوزنقه وجهی خاص در بلورهای گارنت منطقه، می‌توان به این نکته اشاره کرد که نسبت کاتیون‌های Ca^{2+} و Mn^{2+} بیشترین نقش را در تعیین پیکربندی بلورهای گارنت دارند. به این صورت که با افزایش نسبت $(\text{Mn}+\text{Mg})/\text{Ca}$ و Mn/Ca نسبت



شکل ۱۰ تغییر پیکربندی بلورهای گارنت وابسته به نسبت کاتیون‌های دو ظرفیتی به سه ظرفیتی و اندازه‌ی یاخته‌ی یکه [۸].



شکل ۱۱ تغییر ترکیب شیمیایی بلورهای گارنت وابسته به نسبت کاتیون‌های دو ظرفیتی به سه ظرفیتی و اندازه‌ی یاخته‌ی یکه [۹].

جدول ۲ بررسی تأثیر درصد کاتیون‌ها و اعضای گارنت، در پیکربندی بلوری گارنت‌ها.

Samples/Oxides	Grt 1schist	Grt 2schist	Grt 3schist	Grt 4schist	Grt 5schist	Grt 6schist	Grt 7schist	mig	Hrf	1Aplite	Aplite 2	3Aplite	4Aplite
	Garnet Schist	migmatite	Hornfels	Aplite	Aplite	Aplite	Aplite						
Garnet crystalforms	ddk	ddk	ddk	mixed	mixed	mixed	mixed	ddk	tpz	tpz	tpz	tpz	tpz
Mn/Ca	۱,۸۰	۷۶,۲	۶۱,۲	۴۱,۳	۵۷,۱	۷۱,۲	۱۳,۲	۵۲,۲	۷۷,۱	۰۰,۶	۰۰,۸	۱۴,۱۳	۱۱,۸
(Mn+Mg)/Ca	۶۰,۲	۷۱,۳	۲۵,۳	۰۷,۴	۴۰,۲	۳۸,۳	۸۲,۲	۶۸,۳	۹۵,۲	۷۸,۷	۰۰,۹	۰۰,۱۵	۵۶,۸
Ca/Mn	۵۶,۰	۳۶,۰	۳۸,۰	۲۹,۰	۶۴,۰	۳۷,۰	۴۷,۰	۴۰,۰	۵۶,۰	۱۷,۰	۱۳,۰	۰۸,۰	۱۲,۰
Ca/(Mn+Mg)	۳۸,۰	۲۷,۰	۳۱,۰	۲۵,۰	۴۲,۰	۳۰,۰	۳۵,۰	۲۷,۰	۲۴,۰	۱۳,۰	۱۱,۰	۰۷,۰	۱۲,۰
XGrs/XSps	۵۳,۰	۳۷,۰	۳۶,۰	۲۷,۰	۶۷,۰	۳۶,۰	۴۵,۰	۳۸,۰	۵۴,۰	۱۵,۰	۰۰,۱	۰۵,۰	۱۰,۰
XGrs/ (XSps+XPyp)	۳۶,۰	۲۸,۰	۲۹,۰	۲۳,۰	۴۳,۰	۲۹,۰	۳۴,۰	۲۵,۰	۳۲,۰	۱۲,۰	۰۹,۰	۰۴,۰	۰۹,۰
XSps/XGrs	۸۹,۱	۷۱,۲	۷۵,۲	۶۷,۳	۵۰,۱	۷۵,۲	۲۰,۲	۶۷,۲	۸۶,۱	۶۷,۶	۰۰,۱۰	۰۰,۲۱	۵۰,۱۰
XSps/ (XGrs+XPyp)	۰۰,۱	۴۶,۱	۵۷,۱	۲۰,۲	۸۳,۰	۵۷,۱	۲۹,۱	۱۴,۱	۸۱,۰	۲۲,۲	۰۰,۵	۲۵,۵	۰۰,۷

پیرالسپیت بوده و بیشتر پیکربندی‌های دوازده وجهی و ترکیبی در این سنگ‌ها دیده می‌شوند. سنگ‌های آذرین اسیدی نیز به دو گروه تقسیم می‌شوند: **موزوگرانیت‌های گارنت‌دار**: گارنت‌های موجود در این سنگ‌ها غنی از آلماندین بوده و دارای خاستگاه دگرگونی هستند. این گارنت‌ها اغلب دگرسان شده‌اند و بیوتیت و کلریت در قالب بلورهای گارنت قرار می‌گیرند. در نتیجه تشخیص پیکربندی بلوری آن‌ها مشکل است. ولی در بعضی از بلورهای گارنت تعدادی از سطوح لوزی شکل و شبه ذوزنقه‌ای باقی مانده‌اند که می‌توانیم پیکربندی بلور ترکیبی را در آن‌ها تشخیص دهیم. **آپلیت‌ها و پگماتیت‌های گارنت‌دار**: پیکربندی بلوری گارنت در آپلیت‌های گارنت‌دار و پگماتیت‌های گارنت‌دار ذوزنقه وجهی خاص است. اندازه‌ی گارنت‌های موجود در این سنگ‌ها از چند میلی‌متر تا چند سانتی‌متر متغیر بوده و دارای خاستگاه آذرین هستند (شکل ۱۲).

با توجه به مطالعه بالا، مقدار کاتیون‌های Mn^{2+} و Ca^{2+} بیشترین تأثیر را بر ریخت‌شناسی بلورهای گارنت دارند و مقدار کاتیون Mg^{2+} تأثیر کمی بر پیکربندی بلوری گارنت‌ها می‌گذارد. با توجه به میزان دما و فشار محیط $\text{Ca}, \text{Mn}, \text{Mg}, \text{Fe}^{2+}$ برای جایگزینی در ساختار گارنت به صورت انتخابی عمل می‌کنند. در درجات پایین دما و فشار Mn وارد ساختار گارنت می‌شوند و گارنت‌های گراسولار و اسپسارتین را تشکیل می‌دهند. لازم به یادآوری است که آلماندین نیز همراه آن‌ها تشکیل می‌شود و به موازات پیشرفت دگرگونی، مقدار آن در گارنت افزایش می‌یابد. در نتیجه می‌توان ترکیب شیمیایی بلورهای گارنت را مهم‌ترین عامل در تعیین ریخت‌شناسی این بلورها دانست.

مقایسه‌ی ریخت‌شناسی بلورهای گارنت در سنگ‌های دگرگون و آذرین منطقه
در سنگ‌های دگرگون منطقه، گروه عمومی گارنت‌ها



شکل ۱۲ تصویر مکروسکوپی از گارنت‌های شکل‌دار در پگماتیت‌های گارنت‌دار منطقه.

پیکربندی بلوری ذوزنقه وجهی خاص تشکیل می‌شوند (نمونه‌ی Aplit₂، جدول ۴)، در حالی که سنگ‌های دگرگون نسبت به این سنگ‌ها غنی‌تر از Ca هستند (نمونه‌ی Amph-sch₁)، جدول ۳ و در نتیجه گارنت‌های غنی‌تر از Ca، با پیکربندی بلوری دوازده وجهی خاص (نمونه Grt-Amph Sch، جدول ۵) و پیکربندی ترکیبی در این سنگ‌ها تشکیل می‌شود.

لذا گارنت‌های با خاستگاه دگرگون اغلب دارای پیکربندی دوازده وجهی خاص و ترکیبی هستند ولی گارنت‌های با خاستگاه آذرین اغلب پیکربندی ذوزنقه وجهی خاص دارند. این پدیده را می‌توان با ترکیب شیمیایی سنگ مادر این گارنت‌ها توجیه کرد. آپلیت‌های گارنت‌دار (نمونه Aplit₂) و پگماتیت‌های گارنت‌دار فقیر از Ca هستند، در نتیجه گارنت‌های تشکیل شده در این سنگ‌ها نیز فقیر از Ca بوده و در

جدول ۳ نتایج آنالیز شیمیایی چند نمونه از سنگ‌های گارنت‌دار منطقه به روش XRF

Samples/Oxides (%)	SiO ₂	Al ₂ O ₃	Na ₂ O	MgO	K ₂ O	TiO ₂	MnO	CaO	P ₂ O ₅	Fe ₂ O ₃
Grt-Amph Sch	59,89	12,65	0,72	2,22	0,9	0,66	0,27	12,29	0,12	7,47
Grt-Mica Sch	55,74	18,14	1,09	2,72	6,10	0,95	0,12	2,03	0,15	9,80
Aplite1	75,26	12,35	1,99	0,20	2,09	0,03	1,26	0,69	0,04	5,36
Aplite2	71,24	14,29	3,20	0,01	8,99	0,01	0,01	0,42	0,29	0,60
Monzo granite	66,96	14,05	2,56	1,63	3,76	0,91	0,10	2,33	0,18	6,63
Grt-Mica Hrf	52,98	24,15	2,78	2,80	3,50	1,42	0,15	1,07	0,13	9,09
Garnetite	50,43	8,13	0,08	1,25	0,10	0,55	3,21	1,09	0,19	34,88

Samples/Oxides (ppm)	Ba	Ce	Co	Cr	Cu	Nb	Mo	U	Th	Cl
Grt-Amph Sch	123	67	11	44	12	8	4	8	11	5
Grt-Mica Sch	378	76	12	79	36	9	4	4	12	12
Aplite1	157	16	3	2	-	-	1	5	-	120
Aplite2	10	14	-	-	2	44	-	14	5	2
Monzo granite	265	54	12	33	1	22	1	3	12	312
Grt-Mica Hrf	562	218	18	129	27	18	8	9	47	406
Garnetite	97	102	43	210	-	7	11	-	3	53

جدول ۴ نتایج آنالیز شیمیایی بلورهای گارنت به روش XRF

Samples/Oxides	1Grt sch	2Grt sch	3Grt sch	4Grt sch	5Grt sch	6Grt sch	7Grt sch	mig	Hrf	1Aplit	2Aplit	3Aplit	4Aplit
Garnet crystal forms	ddk	ddk	ddk	mixed	mixed	mixed	mixed	mixed	ddk	tpz	tpz	tpz	tpz
SiO ₂	36,08	39,19	32,73	29,92	39,09	32,31	34,39	24,68	39,02	43,03	41,64	30,88	40,68
TiO ₂	0,41	0,07	0,58	0,16	0,24	0,19	0,67	0,32	0,4	0,01	0,15	0,07	0,18
Al ₂ O ₃	19,98	19,98	13,73	13,2	19,26	16,02	15,2	14,96	19,99	18,92	18,84	13,84	10,48
FeO	30,57	29,99	34,74	39,23	28,5	35,61	31,46	35,87	31,66	28	31,02	40,8	36,45
MgO	2	1,68	1,73	1,44	2,04	1,77	2,1	2,29	2,15	1,35	0,57	1	0,29
MnO	7,69	8,58	12,54	12,82	6,83	12,31	11,43	8,58	5,85	8,13	8,33	12,01	10,01
CaO	3,4	2,41	3,78	2,94	3,42	2,58	4,18	2,68	2,58	1,07	0,78	0,7	0,94
Cr ₂ O ₃	0,51	0,36	0,36	0,36	0,54	0,33	0,44	0,73	0,09	0,16	0,24	0,63	-

Number of cations on the basis of 12 Oxygens													
Si ⁴⁺	2,96	3,12	2,89	2,71	3,16	2,85	2,96	2,99	3,1	3,38	3,29	2,79	3,48
Al ³⁺	1,93	1,88	1,43	1,42	1,83	1,46	1,54	1,52	1,87	1,75	1,76	1,47	1,16
Fe ²⁺	2,1	1,95	2,56	2,98	1,93	2,63	2,27	2,58	2,11	1,84	2,09	3,09	2,61
Mg ²⁺	0,24	0,2	0,23	0,19	0,25	0,13	0,27	0,29	0,26	0,16	0,07	0,13	0,04
Mn ²⁺	0,54	0,58	0,94	0,99	0,47	0,92	0,83	0,63	0,39	0,04	0,56	0,92	0,73
Ca ²⁺	0,3	0,21	0,26	0,29	0,3	0,24	0,39	0,25	0,22	0,09	0,07	0,07	0,09

Amounts of garnet end members													
XAlm	0,66	0,66	0,63	0,67	0,66	0,64	0,6	0,69	0,71	0,7	0,75	0,73	0,75
XSp	0,17	0,19	0,22	0,22	0,15	0,22	0,22	0,18	0,13	0,2	0,2	0,21	0,21
XPyp	0,08	0,06	0,06	0,04	0,08	0,06	0,07	0,08	0,09	0,06	0,02	0,03	0,01
XGrs	0,09	0,07	0,08	0,06	0,1	0,08	0,1	0,08	0,07	0,03	0,02	0,01	0,02

جدول ۵ نتایج آنالیز شیمیایی بلورهای گارنت به روش EPMA

	Grt-KH		Sim-L		Sim-M2		Grt-M-S	
	Garnetite		Leucosome Migmatite		Melanosome Migmatite		Schist	
	Core	Rim	Core	Rim	Core	Rim	Core	Rim
SiO ₂	۳۶,۴۷	۳۷,۲۷	۳۵,۹۶	۶۳,۱۰	۳۵,۸۰	۳۷,۲۷	۳۶,۵۰	۳۵,۶۴
TiO ₂	۰,۰۶	۰,۰۰	۰,۰۰	۰,۰۰	۰,۱۰	۰,۰۰	۰,۰۰	۰,۰۰
Al ₂ O ₃	۲۱,۶۹	۲۱,۷۸	۲۱,۷۰	۲۱,۵۷	۲۱,۷۷	۲۱,۸۹	۲۱,۴۱	۲۱,۳۲
FeO	۲۶,۲۶	۳۳,۵۹	۲۹,۹۷	۴۳,۲۳	۲۹,۵۳	۳۵,۹۷	۲۷,۱۳	۳۱,۹۹
MnO	۱۲,۹۳	۴,۰۴	۱۰,۱۳	۳,۶۵	۸,۷۰	۲,۶۴	۱۰,۹۱	۵,۰۹
MgO	۱,۲۲	۲,۶۳	۱,۵۹	۲,۶۶	۱,۴۸	۲,۲۶	۱,۵۳	۱,۸۹
CaO	۱,۹۵	۰,۹۵	۱,۰۹	۱,۰۱	۲,۹۳	۱,۸۸	۱,۲۶	۱,۹۴
Total	۱۰۰,۶۸	۱۰۰,۶۷	۱۰۰,۴۴	۹۹,۲۲	۹۹,۸۰	۱۰۱,۹۱	۹۸,۷۴	۹۸,۳۸
Number of cations on the basis of 12 Oxygens								
Si	۲,۹۵	۲,۹۸	۲,۹۳	۲,۹۵	۲,۹۳	۲,۹۶	۲,۹۹	۲,۹۴
Ti	۰,۰۰	۰,۰۰	۰,۰۰	۰,۰۰	۰,۰۰	۰,۰۰	۰,۰۰	۰,۰۰
Al	۲,۰۷	۲,۰۸	۲,۰۸	۲,۰۷	۲,۰۵	۲,۰۵	۲,۰۷	۲,۰۷
Fe	۱,۷۸	۲,۲۵	۲,۰۴	۲,۳۳	۲,۰۲	۲,۳۹	۱,۸۶	۲,۲۱
Mn	۰,۸۹	۰,۳۱	۰,۷۰	۰,۳۵	۰,۶۰	۰,۱۸	۰,۷۶	۰,۳۹
Mg	۰,۱۵	۰,۳۱	۰,۱۹	۰,۳۲	۰,۱۸	۰,۲۷	۰,۱۹	۰,۲۳
Ca	۰,۱۷	۰,۰۸	۰,۱۰	۰,۰۹	۰,۲۶	۰,۱۶	۰,۱۱	۰,۱۷
Amounts of garnet end members								
X _{Alm}	۰,۸۰	۰,۷۶	۰,۶۷	۰,۷۸	۰,۶۶	۰,۸۰	۰,۶۴	۰,۷۴
X _{Sps}	۰,۳۰	۰,۱۰	۰,۲۳	۰,۰۸	۰,۲۰	۰,۰۶	۰,۲۶	۰,۱۳
X _{Pyp}	۰,۰۵	۰,۱۱	۰,۰۶	۰,۱۱	۰,۰۶	۰,۰۹	۰,۰۶	۰,۰۸
X _{Grs}	۰,۰۶	۰,۰۳	۰,۰۳	۰,۰۳	۰,۰۸	۰,۰۵	۰,۰۴	۰,۰۶
Grt-Gt1								
Granite		Granite		Amph-sch1		Amph-sch2		
Core	Rim	Core	Rim	Core	Rim	Core	Rim	Core
SiO ₂	۳۶,۹۱	۳۶,۵۴	۳۷,۴۳	۳۶,۴۳	۳۷,۲۲	۳۷,۷۷	۳۶,۷۷	۳۶,۷۷
TiO ₂	۰,۰۰	۰,۰۰	۰,۰۰	۰,۰۰	۰,۰۶	۰,۰۴	۰,۱۳	۰,۰۳
Al ₂ O ₃	۲۱,۸۴	۲۱,۴۱	۲۱,۸۴	۲۱,۳۵	۲۱,۶۹	۲۱,۹۴	۲۱,۵۸	۲۱,۲۶
FeO	۳۵,۵۸	۵۳,۳۳	۴۴,۲۰	۳۴,۷۷	۱۵,۶۹	۲۲,۰۱	۲۴,۳۴	۲۵,۹۸
MnO	۱,۳۹	۲,۴۵	۲,۳۹	۲,۸۴	۷,۸۵	۵,۳۸	۵,۰۳	۳۶۰
MgO	۳,۴۱	۲,۷۹	۴,۰۸	۲,۹۱	۰,۷۳	۱,۲۲	۱,۳۸	۱,۷۴
CaO	۱,۳۱	۱,۳۶	۰,۵۲	۰,۸۷	۱۵,۸۱	۱۰,۲۲	۹,۴۰	۸,۸۵
Total	۱۰۰,۴۵	۹۹,۸۸	۱۰۰,۴۶	۹۹,۱۷	۹۹,۱۶	۱۰۰,۱۵	۹۸,۶۳	۹۸,۲۳
Number of cations on the basis of 12 Oxygens								
Si	۲,۹۶	۲,۹۶	۲,۹۸	۲,۹۷	۲,۹۷	۲,۹۶	۲,۹۷	۲,۹۸
Ti	۰,۰۰	۰,۰۰	۰,۰۰	۰,۰۰	۰,۰۰	۰,۰۰	۰,۰۱	۰,۰۰
Al	۲,۰۶	۲,۰۴	۲,۰۵	۲,۰۵	۲,۰۳	۲,۰۶	۲,۰۵	۲,۰۳
Fe	۲,۳۸	۲,۳۹	۲,۲۸	۲,۳۷	۱,۰۴	۱,۶۰	۱,۶۴	۱,۷۸
Mn	۰,۰۹	۰,۱۷	۰,۱۶	۰,۲۰	۰,۵۳	۰,۳۶	۰,۳۴	۰,۲۵
Mg	۰,۴۱	۰,۳۴	۰,۴۸	۰,۳۵	۰,۰۹	۰,۱۵	۰,۱۷	۰,۲۱
Ca	۰,۱۱	۰,۱۲	۰,۰۴	۰,۰۸	۰,۲۸	۰,۱۸	۰,۸۱	۰,۷۷
Amounts of garnet end members								
X _{Alm}	۰,۸۰	۰,۷۹	۰,۷۷	۰,۷۹	۰,۳۵	۰,۵۴	۰,۵۵	۰,۵۹
X _{Sps}	۰,۰۳	۰,۰۸	۰,۰۵	۰,۰۷	۰,۱۸	۰,۱۲	۰,۱۲	۰,۰۸
X _{Pyp}	۰,۱۴	۰,۱۱	۰,۱۶	۰,۱۲	۰,۰۳	۰,۰۵	۰,۰۶	۰,۰۷
X _{Grs}	۰,۰۴	۰,۰۴	۰,۰۲	۰,۰۲	۰,۴۵	۰,۳۰	۰,۲۷	۰,۲۶

CaO در سنگ مادر یکی از عوامل اصلی در کنترل ترکیب شیمیایی گارنت‌ها و در نهایت ریخت‌شناسی آن‌ها است.

برداشت

بلورهای گارنت به عنوان یکی از فراوان‌ترین پورفیروبلاست‌ها در سنگ‌های دگرگون مجاورتی، ناحیه‌ای، میگماتیت‌ها و سنگ‌های پلوتونیک منطقه حضور دارند. این گارنت‌ها غنی از آلماندین بوده و در پیکربندی‌های بلوری دوازده وجهی خاص، ترکیبی و ذوزنقه وجهی خاص تشکیل می‌شوند. پیکربندی بلوری دوازده وجهی خاص در گارنت آمفیبول شیست‌ها، گاهی در گارنت-میکا شیست‌ها، گارنت-میکا هورنفلس‌ها و گاهی در مزوسم میگماتیت‌ها دیده می‌شود. پیکربندی بلوری ذوزنقه وجهی خاص در آپلیت‌ها و پگماتیت‌ها دیده می‌شود و بلورهای گارنت در سنگ‌های گارنت‌دار دیگر منطقه، پیکربندی بلوری ترکیبی دارند.

ترکیب شیمیایی بلورهای گارنت، نسبت کاتیون‌های دوظرفیتی به سه ظرفیتی و اندازه‌ی یاخته‌ی یکه مهم‌ترین عوامل تأثیرگذار در تشکیل این پیکربندی‌ها هستند. به این صورت که با افزایش نسبت $(\text{Mn}+\text{Mg})/\text{Ca}$ و Mn/Ca پیکربندی بلوری گارنت‌ها از دوازده وجهی به ذوزنقه وجهی تغییر می‌کند. ترکیب شیمیایی گارنت‌ها به عوامل دما، فشار، ترکیب سنگ مادر، شاره‌ها، زمان، نرخ انتشار عنصر و همگن‌شدگی بستگی دارد. ولی ترکیب شیمیایی سنگ مادر گارنت‌ها از مهم‌ترین عوامل تعیین کننده‌ی ترکیب شیمیایی این بلورها و به پیروی از آن پیکربندی بلوری گارنت است. لذا در لیتولوژی‌های غنی از کلسیم، درصد این عنصر در گارنت‌ها بالا بوده و باعث تشکیل پیکربندی بلوری دوازده وجهی خاص می‌شود. در لیتولوژی‌های فقیر از کلسیم به علت پایین بودن درصد این عنصر در گارنت‌ها پیکربندی بلوری ذوزنقه وجهی خاص تشکیل می‌شود. به عبارت دیگر میزان CaO در سنگ مادر یکی از عوامل اصلی در کنترل ترکیب شیمیایی گارنت‌ها و در نهایت ریخت‌شناسی آن‌هاست.

مراجع

- [1] Klein C., Harlbut Jr.C.S., "Manual of mineralogy", 21st ed., John Wiley and Sons, (1985) 596.
- [2] Li Li H., Kuang X., Mao A., Li Y., Wang S., "Study of local structures and optical spectra for octahedral Fe^{3+} centers in a series of garnet crystals $A_3\text{B}_2\text{C}_3\text{O}_{12}$ ($A = \text{Cd}, \text{Ca}; B = \text{Al}, \text{Ga}, \text{Sc}$,

مقایسه‌ی ریخت‌شناسی بلورهای گارنت در سنگ‌های دگرگون ناحیه‌ای با دگرگونی مجاورتی

پیکربندی بلوری گارنت در سنگ‌های دگرگون ناحیه‌ای و دگرگون مجاورتی یکسان است. این بلورها در سنگ‌های دگرگون ناحیه‌ای و مجاورتی در پیکربندی‌های دوازده وجهی خاص و ترکیبی متبلور می‌شوند.

لازم به یادآوری است که رژیم دمایی دگرگونی ناحیه‌ای و دگرگونی مجاورتی در منطقه تقریباً یکسان است و فشار لیتوستاتیک در دگرگونی ناحیه‌ای ۲ تا ۴ کیلوبار و در دگرگونی مجاورتی چند صد بار تا ۲.۵ کیلوبار است [۱۰]. همچنین در دگرگونی ناحیه‌ای سرعت رشد بلورها کمتر از دگرگونی مجاورتی است. با توجه به مطالب بالا می‌توان پی‌برد که عوامل فشار، تغییرات دما و زمان (سرعت رشد بلورها) تأثیر چندانی بر ریخت‌شناسی بلورهای گارنت ندارند.

مقایسه‌ی ریخت‌شناسی بلورهای گارنت در سنگ‌های دمای پایین و دمای بالای دگرگونی ناحیه‌ای

پیکربندی بلوری گارنت در دماهای پایین دگرگونی (گارنت میکا شیست) ترکیبی و در موارد کمتری دوازده وجهی خاص است. در درجات بالای دگرگونی (گارنت استارولیت شیست و میگماتیت‌ها) نیز پیکربندی بلوری گارنت‌ها ترکیبی و در موارد کمتری دوازده وجهی خاص (در مزوسم میگماتیت‌ها) است. با استناد به مطالب بالا می‌توان به این نتیجه رسید که، دمای دگرگونی و دمای مطلق تشکیل سنگ‌ها تأثیر چندانی بر ریخت‌شناسی بلورهای گارنت ندارند.

تغییرات پیکربندی بلوری گارنت در لیتولوژی‌های غنی و فقیر از کلسیم

گارنت‌های تشکیل شده در سنگ‌های غنی از Ca (گارنت آمفیبول شیست، مانند نمونه‌ی Amph-sch ، جدول ۳) دارای درصد بالای CaO هستند. اگر این بلورها در سنگ‌های فقیر از Ca (آپلیت، مانند نمونه Aplit ، جدول ۳) تشکیل شوند، درصد CaO پایینی خواهد داشت. هنگام تشکیل گارنت در سنگ‌های غنی از کلسیم، در دما و فشار پایین Ca و Mn وارد ساختار بلوری گارنت می‌شوند. به علت بالا بودن کلسیم در ساختار بلوری این گارنت‌ها، پیکربندی دوازده وجهی خاص در این سنگ‌ها تشکیل می‌شود. در سنگ‌های فقیر از کلسیم نیز منگنز وارد ساختار بلوری گارنت شده و پیکربندی بلوری ذوزنقه وجهی خاص را تشکیل می‌دهد. به عبارت دیگر میزان

- new subdivisions: data from pelitic schists, hornfelses and aplites of Hamadan region", Iran. J. Sci. Tehnology, V. 31, No. A3 (2007).
- [8] Kostov I., "Mineralogy", Cliver and Boyd, London, 587 (1968).
- [9] Rösler H.J., "Lehrbuch der Mineralogie", Deutscher Verlag für Grundstoffindustrie, Leipzig (1991).
- [10] Sepahi A.A., Whitney D. L., Baharifar A.A., "Petrogenesis of andalusite-kyanite-sillimanite veins and their host rocks, Sanandaj-Sirjan metamorphic belt, Hamadan, Iran", J. Met. Geol, 22 (2004) 119-134.
- [11] Sepahi A.A., "Typology and petrogenesis of granitic rocks in the Sanandaj-Sirjan metamorphic belt, Iran: With emphasis on the Alvand plutonic complex", N. Jb. Geol. Palaton. Abn, 247 (2008) 295-312.
- [12] Deer W.A., Howie R.A., Zussman J., "Rock forming minerals, Orthosilicates", Longman, 919 (1982).
- In; C = Ge, Si)", Chemical Physics Letters, 484 (2010) 387–391.
- [3] Locock A., "An Excel spreadsheet to recast analyses of garnet end-member components, and a synopsis of the crystal chemistry of natural silicate garnets", Computers and Geosciences. V, 34 (2008) 1769-1780
- [4] Russell J.K., Dipple G.M., Lang J.R., Lueck B., "Major-element discrimination of titanium andradite from magmatic and hydrothermal environments; an example from the Canadian Cordillera", Europe. J. Miner, 11 (1999) 919-935.
- [5] Kretz R., "Symbols for rock-forming minerals", Amer. Miner. 69, (1983) 277-279.
- [6] Schmid R., Fettes D., Harte B., Davis E., Desmons J., Silvola J., "Towards a unified nomenclature in metamorphic petrology, 1. How to name a metamorphic rock- An outline no behalf of SCMR", Provisional version on SCMR website (2002).
- [7] Sepahi A.A., "A detailed study of morphology and chemistry of garnet crystals with suggestion of